

## Глава 6

# ПЕРВИЧНАЯ ПОЛЯРИЗАЦИЯ РЕЛИКТОВОГО ИЗЛУЧЕНИЯ

### 6.1. Введение

Следствием начальных возмущений плотности являются не только вариации температуры реликтового излучения, но и поляризация его [Rees, 1968; Баско, Полнарёв, 1979; Полнарёв, 1985; Kaiser, 1983; Насельский, Полнарёв, 1987; Crittenden, Coulson, Turok, 1995; Zaldarriaga, Narari, 1995; Ng K.L., Ng K.W., 1995, 1996; Hu, White, 1997] и др. Измерения поляризации реликтового излучения позволяют получить добавочную информацию, которая позволит избежать двусмысленностей в выделении космологических параметров из наблюдательных данных. В частности, поляризация очень чувствительна к присутствию тензорных возмущений (гравитационным волнам) а, как показано в [Zaldarriaga, Narari, 1995], отклонение от нуля так называемой псевдоскалярной или “магнитной” составляющей поляризации будет недвусмысленным указанием на наличие гравитационных волн.

Рассмотрим свойства поля поляризации, генерируемой на поверхности последнего рассеяния квантов на электронах. В общем случае для эллиптически поляризованной волны можно ввести разложение вектора электрического поля на две ортогональные компоненты (рис. 6.1) [Hu, White, 1997]. Обозначим их  $E_\xi$  и  $E_\tau$  считая, что система координат выбрана. После рассеяния кванта на электроны обозначим соответствующие компоненты векторов  $\vec{E}$  через  $E_\xi^S$  и  $E_\tau^S$ . До рассеяния компоненты  $E_\xi$  и  $E_\tau$  меняются в зависимости от времени по закону

$$\begin{aligned} E_\xi &= E_\xi^0 \sin(\omega t - e_1), \\ E_\tau &= E_\tau^0 \sin(\omega t - e_2), \end{aligned} \tag{6.1}$$

где  $E_\xi^0$  – амплитуда волны,  $\omega$  – частота волны,  $e_1$  и  $e_2$  – начальные фазы. Основываясь на уравнении (6.1), введём характерис-

Рис. 6.1. Диаграмма рассеяния кванта на электроне.  $\theta$  – угол рассеяния

тики поля излучения, называемые параметрами Стокса,

$$I = (E_{\xi}^0)^2 + (E_{\tau}^0)^2 \equiv I_{\xi} + I_{\tau},$$

$$Q = E_{0\xi}^2 - E_{0\tau}^2 \equiv I_{\xi} - I_{\tau},$$

$$U = 2E_{0\xi}E_{0\tau} \cos(e_1 - e_2), \quad (6.2)$$

$$V = 2E_{0\xi}E_{0\tau} \sin(e_1 - e_2),$$

где  $I_{\xi}$  и  $I_{\tau}$  – интенсивность  $\xi$ - и  $\tau$ - компонент. Из определения (6.2) следует очевидное неравенство  $I^2 \geq Q^2 + U^2 + V^2$ . Здесь уместен вопрос, каким образом осуществляется преобразование параметров Стокса при вращении системы координат на угол  $\alpha$ ? В силу определения (6.2)  $I$ - и  $V$ -компоненты не изменяются при повороте системы координат на этот угол по часовой стрелке, в то время как  $Q$ - и  $U$ -компоненты преобразуются в соответствии с законом, определяемым как воздействие оператора поворота

$$\tilde{L}(\alpha) = \begin{pmatrix} \cos^2 \alpha & \sin^2 \alpha & \frac{1}{2} \sin 2\alpha & 0 \\ \sin^2 \alpha & \cos^2 \alpha & -\frac{1}{2} \sin 2\alpha & 0 \\ -\sin 2\alpha & \sin 2\alpha & \cos 2\alpha & 0 \\ 0 & 0 & 0 & 1 \end{pmatrix} \quad (6.3)$$

на вектор  $\vec{I} = (I_{\xi}, I_{\tau}, U, V)$ .

Рассмотрим, как изменяются параметры Стокса после рассеяния кванта на электроне. В единичном акте столкновения (см. рис. 6.1) связь между компонентами векторов  $\vec{I}^S$  и  $\vec{I}$  даётся соотношением

$$\vec{I}^S = \sigma_T \hat{R} \times \vec{I}, \quad (6.4)$$

где

$$\hat{R} = \frac{3}{2} \begin{pmatrix} \cos^2 \theta & 0 & 0 & 0 \\ 0 & 1 & 0 & 0 \\ 0 & 0 & \cos \theta & 0 \\ 0 & 0 & 0 & \cos \theta \end{pmatrix}.$$

Для анализа изменения параметров Стокса в ходе рассеяния кванта на электроне выберем лабораторную систему координат, как это показано на рис. 6.2. В этой системе вектор Стокса после рассеяния выражается через компоненты вектора  $\vec{I}(\theta', \varphi')$  до рассеяния следующим образом [Hu, White, 1997; Balbi et al., 2001]:

$$\vec{I}(\theta, \varphi) = \frac{1}{4\pi} \int_{4\pi} [\hat{P}(\theta, \varphi, \theta', \varphi') \times \vec{I}(\theta', \varphi')] d\Omega'. \quad (6.5)$$

Здесь

$$\hat{P} = \hat{Q} \times$$

$$\times \left[ \hat{P}_0(\mu, \mu') + \sqrt{(1-\mu^2)}\sqrt{(1-\mu'^2)}\hat{P}_1(\mu, \varphi, \mu', \varphi') + \hat{P}_2(\mu, \varphi, \mu', \varphi') \right],$$

$$\hat{Q} = \frac{3}{2} \begin{pmatrix} 1 & 0 & 0 & 0 \\ 0 & 1 & 0 & 0 \\ 0 & 0 & 2 & 0 \\ 0 & 0 & 0 & 2 \end{pmatrix},$$

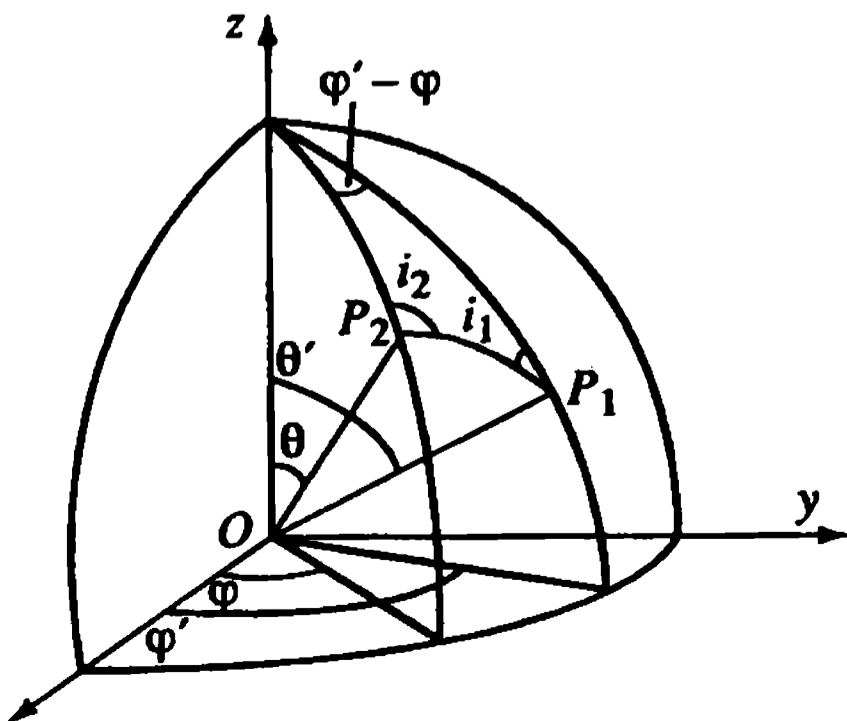


Рис. 6.2. Поляризация в лабораторной системе отсчёта. Обозначения углов см. в тексте

$$\hat{P}_0 = \frac{3}{4} \begin{pmatrix} 2(1-\mu^2)(1-\mu'^2) + \mu^2\mu'^2 & \mu^2 & 0 & 0 \\ \mu'^2 & 1 & 0 & 0 \\ 0 & 0 & 0 & 0 \\ 0 & 0 & 0 & \mu\mu' \end{pmatrix},$$

$$\hat{P}_1 = \frac{3}{4} \begin{pmatrix} 4\mu\mu' \cos(\varphi - \varphi') & 0 & 2\mu \sin(\varphi' - \varphi) & 0 \\ 0 & 0 & 0 & 0 \\ -2\mu' \sin(\varphi - \varphi') & 0 & \cos(\varphi - \varphi') & 0 \\ 0 & 0 & 0 & \cos(\varphi - \varphi') \end{pmatrix}, \quad (6.6)$$

$$\hat{P}_2 = \frac{3}{4} \begin{pmatrix} \mu^2\mu'^2 \cos 2(\varphi' - \varphi) & \mu^2 \cos 2(\varphi' - \varphi) & \mu^2\mu'^2 \sin 2(\varphi' - \varphi) & 0 \\ -\mu'^2 \cos 2(\varphi' - \varphi) & \cos 2(\varphi' - \varphi) & -\mu' \sin 2(\varphi' - \varphi) & 0 \\ -\mu'^2\mu \sin 2(\varphi - \varphi') & \mu \sin 2(\varphi - \varphi') & \mu\mu' \cos 2(\varphi' - \varphi) & 0 \\ 0 & 0 & 0 & 0 \end{pmatrix},$$

где  $\mu = \cos \theta$  и  $\mu' = \cos \theta'$ .

Отметим важное свойство поляризации, заключающееся в том, что она генерируется только начиная с квадрупольных мод для  $I(\theta', \varphi)$  в уравнении (6.5). Это связано со свойствами поляризационного оператора  $\hat{P}$  для рассеяния кванта на электроне. Кроме того, важно подчеркнуть, что в отсутствии пекулярных движений плазмы и возмущений плотности и гравитационного потенциала в эпоху рекомбинации водорода сам факт “последнего рассеяния” не приводит к появлению поляризации: изначально неполяризованное реликтовое излучение остаётся неполяризованным и после отделения электромагнитного излучения от электронов. Однако ситуация меняется радикальным образом при наличии малых флуктуаций плотности, скорости и метрики в эпоху рекомбинации водорода. Как мы уже видели раньше, слабая анизотропия реликтового излучения является источником формирования углового распределения поляризации, свойства которой напрямую зависят от характеристик “источника”.

Следуя работе [Peebles, Yu, 1970] (см. также [Peebles, 1980]) введём флуктуации параметров Стокса

$$\begin{pmatrix} I \\ Q \\ U \\ V \end{pmatrix} = \frac{\rho_\gamma(t)}{4\pi} \begin{pmatrix} 1+i \\ q \\ u \\ v \end{pmatrix} \quad (6.7)$$

и воспользуемся кинетическими уравнениями Больцмана для нахождения угловой зависимости этих параметров. Решения этих уравнений в общем виде исследовались как аналитически, так и численно в работах [Peebles, Yu, 1970; Crittenden, Coulson, Turok, 1995], и интересующихся подробностями мы отсылаем к этим оригинальным работам. Важнейшей характеристикой поляризации реликтового излучения является, как и в случае анизотропии, спектр мощности флуктуаций, задаваемый в пространстве мультиполей  $l$ . В отличие от спектра мощности анизотропии определение спектра для поляризации требует определённой детализации. Как мы уже видели в начале этого раздела (см. уравнение (6.2)), параметры Стокса  $Q$  и  $U$  преобразуются друг в друга при повороте системы отсчёта на угол  $\alpha$  в плоскости поляризации.

Следуя работе [Crittenden, Coulson, Turok, 1995], определим корреляционную функцию для  $Q$ -компоненты как<sup>1</sup>

$$\left\langle \frac{Q(\bar{\gamma}_1)Q(\bar{\gamma}_2)}{T_0^2} \right\rangle = A(\theta) + B(\theta, \varphi), \quad (6.8)$$

где

$$A(\theta) = P_l(\cos \theta), \quad (6.9)$$

$$B(\theta, \varphi) = \frac{1}{4\pi} \sum_l (2l+1) B_l \cos(4\varphi) \cdot P_l(\cos \theta), \quad (6.10)$$

и  $C(l)^Q$  – мультипольный спектр  $Q$ -компоненты,  $B_l$  – так называемый спектр  $UQ$ -корреляций [Crittenden, Coulson, Turok, 1995]. Специально отметим, что аналогичным образом определяются

<sup>1</sup> Мы приводим выражение для  $A(\theta)$  и  $B(\theta, \varphi)$  в приближении малых углов  $\theta$  и  $\varphi$ .

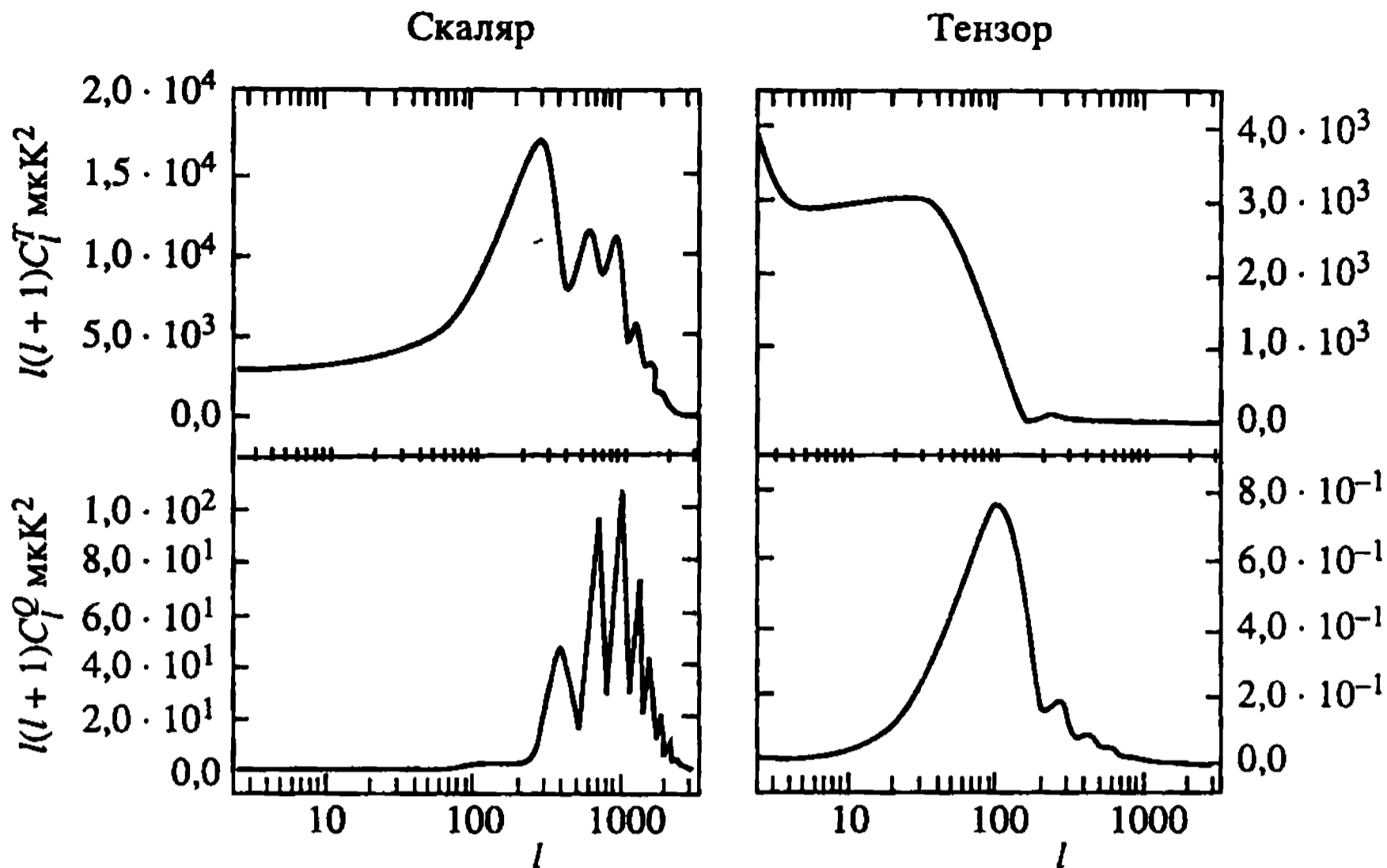
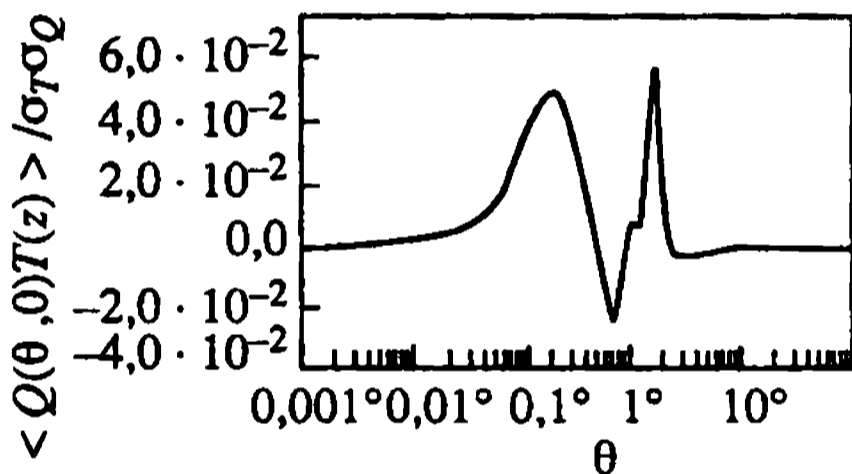


Рис. 6.3. Спектральное распределение анизотропии (вверху) и поляризации (внизу) для скалярных и тензорных мод

Рис. 6.4. Кросс-корреляционная функция для анизотропии и поляризации в зависимости от угла  $\theta$



спектры для  $U$ -компоненты и гравитационных волн. Новый элемент теории появляется при учёте кросс-корреляции между анизотропией и поляризацией реликтового излучения. Согласно работам [Crittenden, Coulson, Turok, 1995; Zaldarriaga, Seljak, 1997], соответствующая кросс-корреляционная функция даётся выражением

$$\left\langle \frac{\delta T(\bar{\gamma}_1) Q(\bar{\gamma}_2)}{T_0^2} \right\rangle = \frac{1}{4\pi} \sum_l (2l+1) C_l^{QT} \cos(2\varphi) P_l^2(\cos\theta), \quad (6.11)$$

где  $P_l^2(\cos\theta)$  – присоединённые полиномы Лежандра.

На рис. 6.3 мы приводим результаты численных расчётов спектров анизотропии и поляризации, генерируемых в космологической модели  $\Lambda$ CDM адиабатическими возмущениями и гравитационными волнами. Параметры модели выбраны следующим образом:  $\Omega_b = 0,05$ ,  $\Omega_\lambda = 0$ ,  $\Omega_0 = 95$ ,  $n_s = 1$  (спектр Харрисона–Зельдовича),  $h = 0,5$  и рекомбинация водорода имеет стан-

дартный характер. Заметим, что чисто тензорные моды (гравитационные волны) иллюстрируют тенденцию перестройки структуры спектра анизотропии и поляризации. Как видно из сравнения спектров поляризации для адиабатических мод и гравитационных волн, последние создают чрезвычайно малую поляризацию. На рис. 6.4 приведено поведение кросс-корреляционной функции анизотропии и поляризации для адиабатической моды возмущений в зависимости от угла  $\theta$ . Как видно, заметные корреляции проявляются в диапазоне  $0,1 \pm 1$  градус, в то время как вне этого диапазона они практически отсутствуют.

## 6.2. Электрическая и магнитная компоненты поля поляризации

Как мы уже отмечали в предыдущем разделе, параметры Стокса  $Q$  и  $U$  в силу природы поля поляризации преобразуются друг в друга при повороте системы координат на угол  $\alpha$  в плоскости, перпендикулярной вектору в направлении прихода квантов,  $\vec{n}$ .

Сделаем упрощение, предположив, что исследуемый угловой масштаб в поляризации настолько мал, что соответствующий участок неба можно считать плоским. При таком приближении поле поляризации на небе может рассматриваться как двумерное поле на плоскости  $(x, y)$ . Фотонная поляризация описывается тензором второго ранга  $a_{ij}$  в плоскости, перпендикулярной траектории фотонов. След этого тензора по определению равен нулю, что соответствует нулевой поляризации и может быть включён в полную интенсивность излучения. Удобно выразить этот член через матрицы Паули  $\sigma_\alpha$  ( $\alpha = 1, 2, 3$ ), которые образуют полную систему  $2 \times 2$  бесследового матричного пространства:

$$a = \xi_\alpha \sigma_\alpha. \quad (6.12)$$

Параметр  $\xi_2$  равен амплитуде круговой поляризации, которая не возникает при томпсоновском рассеянии. Поэтому предполагается что  $\xi_2 = 0$ . В этом случае матрица  $a$  симметрична и определяется двумя функциями:

$$a = \begin{pmatrix} Q & U \\ U & -Q \end{pmatrix}. \quad (6.13)$$

Функции  $Q$  и  $U$  зависят от координатной сетки. Они являются компонентами тензора  $a_{ij}$  и подчиняются соответствующему